



محاكاة ودراسة تحسين أداء محطة جنوب طرابلس الغازية باستخدام التبريد بالهيدروجين

عمران الشيخي¹، عبد اللطيف بن موسى¹، نضال غميس،¹ أحمد أبوكيل¹، عبد الخالق الكيلاني¹، مجدي الصول¹

عبد الرحمن الشريف¹

¹ جامعة طرابلس / قسم الهندسة البحرية والمنصات العائمة، طرابلس، ليبيا، o.alshikhi@uot.edu.ly

*Corresponding author: o.alshikhi@uot.edu.ly

Received: 15 Aug 2025

Accepted: 02 Sep 2025

Published: 15 Sep 2025

الملخص

في هذه الدراسة تم تصميم نموذج لمنظومة محطة جنوب طرابلس باستخدام البرنامج العالمي أسين بلس وبعد معايرتها ونتيجة لارتفاع درجة حرارة العادم مما يتطلب النظر في إمكانية استغلال الطاقة الحرارية المهدورة للعادم، ظهرت فكرة مبتكرة وهي إمكانية استغلال تلك الحرارة في إنتاج الهيدروجين من خلال استخدام منظومة الإصلاح الخارجي وتتمكن فكرة هذه التقنية بتفاعل الوقود (الديزل) مع بخار الماء لإنتاج الهيدروجين وثاني أكسيد الكربون ولكون أن هذا التفاعل ماص للحرارة تم تغطية احتياجات الطاقة من منظومة التوربين الغازي. وبعد إجراء عملية المحاكاة أظهرت النتائج عرض طريقة جديدة لاستقرار أداء المحطة الغازية على مدار العام وردد على هذه الميزة تم إنتاج الهيدروجين بمقدار (ton/day 691.2) من الديزل مما أدى إلى التحسين العام في أداء المحطة وهذا يتوقع أن ينعكس إيجابياً من الناحية الاقتصادية لكون أن الطاقة المهدورة للغازات تم استغلالها في إنتاج الهيدروجين، مما يعني بصورة أخرى تقليل من الانبعاثات الكربونية والمحافظة على البيئة.

الكلمات المفتاحية: محطة التوربين الغازي، منظومة الإصلاح البخاري، إنتاج الهيدروجين، ASPEN PLUS.

1. المقدمة

في ظل التوجه العالمي نحو تحسين كفاءة محطات توليد الطاقة وتقليل الانبعاثات الكربونية تبرز الحاجة إلى حلول مبتكرة لاستعادة الطاقة المهدورة في أنظمة التوربينات الغازية، ومع التقدم العلمي تعددت البرامج التصميمية لمحاكاة محطات الطاقة ونمذجة عملها، حيث تطرق العلماء بحثاً ودراسة في تطوير طرق إنتاج الطاقة الكهربائية والحد من الانبعاثات الهيدروكربونية مما جعل التركيز منصباً على الطاقات البديلة عن طريق استغلال حرارة غازات العادم المهدورة جواً والغير مستفاد منها بمحطات توليد القدرة الغازية.



تكمّن فكرة عمل الإصلاح الخارجي بإضافة وقود وبخار الماء بنسـب معينة عند درجات حرارة مرتفـعة قد تصل بالـحد الأدنـى إلى (400°C)، حيث يمكن الاستـفادة من درجة حرارة غازـات العـادم بـمحـطـات تـولـيد الـقدرةـ الغـازـيةـ فيـ توـفـيرـ اـحـتـيـاجـاتـ درـجـاتـ الـحرـارـةـ المـطـلـوـبـةـ لـلـتـقـاعـلـ الـكـيـمـيـاـيـيـ بـعـلـمـيـةـ الإـلـصـاـحـ الـبـخـارـيـ ماـماـ يـنـتـجـ عـنـ هـذـاـ التـقـاعـلـ إـنـتـاجـ الـهـيـدـرـوـجـينـ بـدـرـجـةـ حـرـارـةـ مـنـخـفـضـةـ تـحـتـ الصـفـرـ الـمـئـويـ وـقـدـ تـصـلـ إـلـىـ (200°Cـ)ـ.

حيـثـ يـمـكـنـ الـاسـتـفـادـةـ منـ درـجـةـ حـرـارـةـ الـهـيـدـرـوـجـينـ الـمـنـتـجـ مـنـ عـلـمـيـةـ الإـلـصـاـحـ الـبـخـارـيـ فـيـ عـلـمـيـةـ تـبـرـيدـ الـهـوـاءـ عـنـ مـدـخـلـ الـضـاغـطـ بـمـحـطـاتـ تـولـيدـ الـقـدـرـةـ الـغـازـيةـ عـنـ طـرـيـقـ التـبـادـلـ الـحـارـيـ فـيـماـ بـيـنـ الـهـوـاءـ وـالـهـيـدـرـوـجـينـ الـمـنـخـفـضـ حـرـارـيـاـ،ـ مـاـ يـسـاـهـمـ فـيـ اـسـتـقـارـ وـرـفـعـ مـنـ أـدـاءـ الـمـحـطـةـ عـلـىـ مـدـارـ الـعـامـ وـخـاصـتـاـ فـيـ فـصـلـ الصـيفـ وـبـأـوـاقـاتـ الـدـرـوـةـ تـصـلـ فـيـهاـ درـجـاتـ الـحرـارـةـ إـلـىـ (40ـ:ـ50ـ)ـ درـجـةـ مـئـويـةـ ،ـ وـالـتـيـ تـعـكـسـ بـشـكـلـ سـلـبـيـ عـلـىـ أـدـاءـ الـمـحـطـةـ ،ـ وـلـمـحـافـظـةـ عـلـىـ اـسـتـقـارـيـهـ وـأـدـاءـ الـمـحـطـةـ يـفـضـلـ تـشـغـيلـ الـمـحـطـاتـ بـظـرـوفـ تـشـغـيلـهـ لـلـهـوـاءـ عـنـ درـجـاتـ حـرـارـةـ فـيـماـ بـيـنـ (10ـ:ـ15ـ)ـ درـجـةـ مـئـويـةـ.ـ درـاسـةـ اـخـرـىـ تـمـتـ مـنـ قـبـلـ (ـصـمـيـلـيـ،ـ وـأـخـرـونـ)ـ تـحـتـ عنـوانـ أـثـرـ الـمـنـاخـ عـلـىـ اـسـتـهـلـاكـ الـطـاـقـةـ الـكـهـرـبـائـيـ السـكـنـيـ،ـ أـجـرـيـتـ فـيـ مـدـيـنـةـ جـدـةـ،ـ وـهـدـفـتـ إـلـىـ اـبـرـازـ التـقـاوـتـ الـفـصـلـيـ وـالـشـهـرـيـ لـمـعـدـلـاتـ اـسـتـهـلـاكـ الـكـهـرـبـائـيـ السـكـنـيـ فـيـ مـدـيـنـةـ جـدـةـ،ـ وـإـيـجادـ الـعـلـاقـةـ الـإـحـصـائـيـ بـيـنـ الـعـنـاصـرـ الـمـنـاخـيـةـ وـكـمـيـةـ اـسـتـهـلـاكـ الـكـهـرـبـائـيـ السـكـنـيـ [ـ1ـ].ـ

حيـثـ قـامـ (ـمـ.ـ الشـارـفـ،ـ مـ.ـ عـبـدـالـمـجـيدـ)ـ بـدـرـاسـةـ هـدـفـتـ إـلـىـ تـقـلـيلـ تـكـالـيفـ لـطاـقـةـ مـنـ خـالـلـ التـبـيـؤـ باـسـتـهـلـاكـ الـوـقـودـ فـيـ ظـلـ درـجـاتـ الـحرـارـةـ الـمـخـلـفـةـ،ـ وـاـنـشـاءـ مـحـطـاتـ جـدـيـدةـ لـتـولـيدـ الـطاـقـةـ الـكـهـرـبـائـيـ لـتـقـلـيلـ الـضـغـطـ عـلـىـ الشـبـكـةـ،ـ وـمـنـ أـهـمـ النـتـائـجـ الـتـيـ تـحـصـلـ عـلـيـهاـ الـبـاحـثـ أـنـهـ بـإـنـخـفـاضـ درـجـةـ حـرـارـةـ الـهـوـاءـ تـرـزـادـ الـطاـقـةـ الـمـنـتـجـةـ فـيـ الـمـنـظـومـةـ،ـ وـاـوـصـتـ إـلـىـ التـرـكـيزـ عـلـىـ أـهـمـيـةـ اـنـشـاءـ مـحـطـاتـ جـدـيـدةـ لـتـولـيدـ الـكـهـرـبـاءـ لـمـوـاـكـبـةـ الـزـيـادـةـ السـكـانـيـةـ،ـ وـالـاـهـتـمـامـ بـإـنـتـاجـ الـكـهـرـبـاءـ عـنـ طـرـيـقـ الـطاـقـةـ الـمـتـجـدـدةـ،ـ وـالـتـرـشـيدـ فـيـ اـسـتـهـلـاكـ الـطاـقـةـ الـكـهـرـبـائـيـ مـنـ قـبـلـ الـمـواـطـنـ [ـ2ـ].ـ

وـفـيـ الـدـرـاسـةـ تـمـ مـحاـكـاـةـ لـمـقـرـحـ تـطـوـيـرـ الـمـحـطـةـ الـغـازـيةـ بـجـنـوبـ طـرـابـلـسـ وـتـحـسـينـ أـدـائـهاـ فـيـ حـالـةـ الـدـوـرـةـ الـمـزـدـوـجـةـ،ـ لـغـرـضـ تـقـدـيمـ مـقـرـحـ لـلـشـرـكـةـ الـعـامـةـ لـلـكـهـرـبـاءـ بـدـوـلـةـ لـيـبـيـاـ،ـ وـذـلـكـ بـعـدـ سـمـاعـ عـنـ سـلـسـلـةـ مـنـ التـعـاـقـدـاتـ الـجـدـيـدةـ مـعـ الشـرـكـاتـ الـأـجـنـبـيـةـ وـعـلـىـ رـأـسـهاـ الشـرـكـةـ الـأـلـمـانـيـةـ الرـائـدـةـ فـيـ مـجـالـ الـطاـقـةـ (ـSIEGMENSـ)ـ،ـ وـتـوـفـيرـ اـحـتـيـاطـيـ دـوـارـ لـلـطاـقـةـ الـكـهـرـبـائـيـ بـالـشـبـكـةـ الـعـامـةـ لـتـغـطـيـةـ الـطـلـبـ الـمـتـزـيـدـ مـنـ قـبـلـ الـمـسـتـهـلـكـيـنـ،ـ عـلـاـوةـ عـلـىـ ذـلـكـ الـمـحـافـظـةـ عـلـىـ الـمـالـ الـعـامـ لـلـدـوـلـةـ الـلـيـبـيـةـ عـنـ طـرـيـقـ اـسـتـثـمـارـ الـغـازـاتـ الـمـنـبـوـذـةـ جـوـاـ وـالـغـيـرـ مـسـتـقـادـ مـنـهـاـ فـيـ مـثـلـ هـذـهـ الـمـحـطـاتـ.ـ تـمـ فـيـ هـذـهـ الـدـرـاسـةـ اـسـتـخـدـمـ بـغـازـاتـ الـعـادـمـ الـنـاتـجـةـ مـنـ خـمـسـ وـحدـاتـ غـازـيةـ فـيـ عـلـمـيـةـ تـولـيدـ الـبـخـارـ وـذـلـكـ عـنـ طـرـيـقـ مـوـلـدـ بـخـارـ الـحـرـارـةـ الـمـسـتـرـجـعـةـ (ـHRSGـ)ـ لـتـشـغـيلـ مـحـطـةـ بـخـارـيـةـ مـتـكـامـلـةـ الـدـوـرـةـ الـحـارـارـيـةـ،ـ حـيـثـ اـسـتـخـدـمـ بـرـنـامـجـ حلـ الـمـعـادـلـاتـ الـهـنـدـسـيـ (ـEESـ)ـ لـنـمـذـجـةـ الـمـحـطـةـ الـمـقـرـحـةـ وـتـأـثـيرـ عـدـةـ عـوـامـلـ عـلـىـ الـأـدـاءـ الـدـيـنـامـيـكـيـ الـحـارـارـيـ لـلـدـوـرـةـ.ـ تـمـ اـسـتـخـدـمـ الـبـيـانـاتـ الـحـقـيقـيـةـ مـثـلـ درـجـةـ حـرـارـةـ الـمـحـيطـ

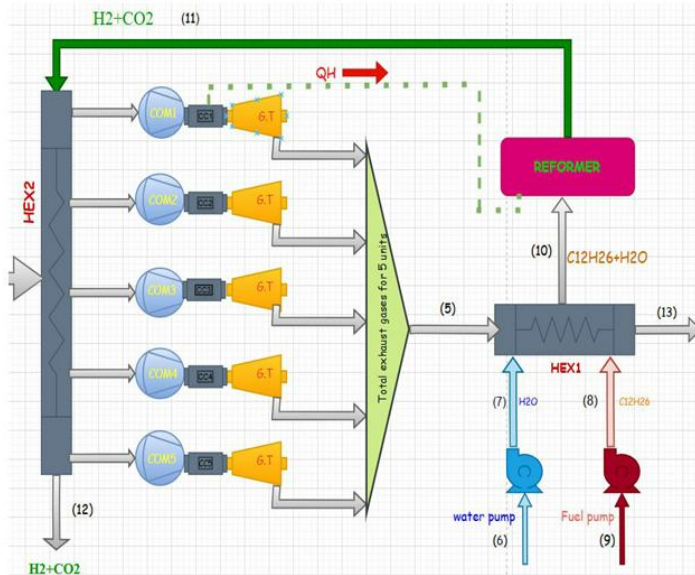
الجوي، معدلات تدفق الوقود والهواء، حيث تم الاستفادة من غازات العادم في توليد البخار وتحسين الأداء للمحطة المقترنة، وتبين ذلك من خلال النتائج المتحصل عليها عند استخدام الدورة المزدوجة وكانت درجة المحيط الجوي (20°C) فإن كفاءة الدورة الحرارية بلغت (78%)، بينما كانت (24.82%) في حالة الدورة المفتوحة، وتحسين صافي الشغل المنتج بمقدار (1207 MW) بينما كان (382.32 MW) في الدورة المفتوحة. وبينت الدراسة أيضاً آلية المحافظة على كفاءة الدورة الحرارية وكذلك صافي الشغل المنتج، وأساليب الحد من الفاقد الرئيسية والثانوية والخسائر بالدورة الحرارية.[3].

وفي الدراسة التي قامت بمحاكاة نموذج منظومة التوربين الغازي وخليه الوقود ذات الغشاء البروتوني حيث تم استثمار غازات عادم التوربين الغازي لتسخين الماء وغاز الميثان، مما يسهم في تعزيز الأداء الكلي لنظام الطاقة. استخدمت المنهجية حقن هذه المكونات في المصلح البخاري لإنتاج الهيدروجين، الذي يستخدم في خلية الوقود ذات الغشاء البروتوني، مما يؤدي إلى توليد الطاقة لكهربائية بكفاءة أعلى [4]. وفي دراسة أخرى بدمج منظومة توربين غازي مع منظومة خلية وقود ذات الغشاء البروتوني ليشكلا معاً نظام هجين أطلق عليه اسم (منظومة أويَا). ولدراسة معاملات أداء منظومة أويَا تم استخدام البرنامج العالمي ألين بلس Aspen Plus كذلك برنامج المحاكاة حل المعادلات الهندسية EES لتصميم ومعايرة نموذج لمنظومة توربين غازي وكذلك نموذج لخلية الوقود ذات الغشاء البروتوني ، حيث أظهرت النتائج ارتفاع كفاءة منظومة أويَا إلى 43% بالمقارنة بمنظومة التوربين الغازي والتي قدرت بـ 37% وكذلك الطاقة المنتجة في منظومة أويَا ارتفعت من 30.1% قبل الدمج إلى 83.41% بعد الدمج. زد على ذلك فإن درجة حرارة العادم في منظومة أويَا لازالت بها طاقة حرارية بالإمكان الاستفادة منها في زيادة عدد حزم خلية الوقود ذات الغشاء البروتوني مما يعني تحسين أكبر في الكفاءة [5]. وفي هذه الدراسة، تتم مقارنة أداء دورة التوربينات الغازية المبردة بالتبادل الحراري التي تعمل بالهيدروجين وشفرات التوربينات مع دورة مماثلة تستخدم وقود الديزل مع الطريقة التقليدية لضاغط الهواء للتبريد. ركز التحليل الحصول على الطاقة واستهلاك الوقود النوعي والكفاءة الحرارية للمحرك على نطاق واسع من متغيرات التشغيل وهي نسبة ضغط الضاغط RC ودرجة الحرارة القصوى للدورة $T03$. تم تصميم برنامج كمبيوتر خصيصاً لإجراء جميع العمليات الحسابية. تظهر النتائج أن دورة الهيدروجين تتفوق على دورة الهواء بنحو 50% في الطاقة و 9% في الكفاءة الحرارية [6]. وفي هذه الدراسة التي سلطت الضوء على نظام الضباب للتبريد الهواء الداخلي للضاغط في محطة الوقود لتوليد الكهرباء. حيث ركزت الدراسة بشكل رئيسي على مدى ملاءمة نظام الضباب للمناخ العراقي الحار طوال فترة الصيف، حيث تم إجراء تحليل محاكاة لتشغيل وحدة توربين الغاز باستخدام نظام الضباب عند درجة حرارة محطة تتراوح بين 25 و 55 درجة مئوية في المحطة الثانية جنوب بغداد. وقد أثبتت

نظم الضباب فعالية عالية في رفع القدرة الفعالة والكفاءة الحرارية ومعامل الكفاءة الفعالة لوحدة توربين الغاز ، بالإضافة إلى انخفاض واضح في معدل تدفق الهواء النوعي واستهلاك الوقود النوعي واستهلاك الحرارة النوعي في وحدة توربين الغاز مقارنةً بعدم استخدام نظام الضباب للتبريد ولنفس ظروف التشغيل [7].

في هذه الدراسة تم تصميم نموذج لمنظومة محطة جنوب طرابلس الغازية والتي تحتوي على خمسة وحدات إنتاج الطاقة الكهربائية وبعد التأكيد من معايرتها تم دمجها بمنظومة الإصلاح الخارجي وذلك باستخدام برنامج العالمي اسبن بلس (ASPEN plus) وتكمّن فكرة هذه الدراسة باستغلال الحرارة المهدورة في غازات العادم لمنظومة التوربين الغازي ومدى إمكانية الاستفادة بجزء منها في إنتاج الهيدروجين (H_2) من وقود نوع الديزل ($C_{12}H_{26}$) وهذه الدراسة تمثل فكرة مبكرة في إنتاج الهيدروجين (H_2) واستغلال درجة حرارته في تحسين أداء المحطة الغازية .

2. وصف المنظومة المقترحة



شكل 1 : مخطط المحطة المقترحة

يبين الشكل (1) مخطط المحطة المقترحة لجنوب طرابلس، حيث تتكون محطة جنوب من خمسة وحدات غازية تعمل بالدورة المفتوحة، حيث يتم دخول الهواء إلى مبادل حراري (HEX₂) لغرض التبادل الحراري مع منتجات التفاعل للإصلاح البخاري عند النقطة (11)، حيث تم تثبيت والتحكم بدرجة حرارة الهواء الجوي عند (10°C) على مدار العام حيث كانت تتذبذب خاصتاً بفصل الصيف فيما بين (50°C:30°C) مما ينعكس بشكل سلبي على أداء المحطة، وتكمّن فكرة عمل المحطة



الغازية بضغط الهواء والوقود إلى ضغط (11bar) وإدخاله إلى غرفة الاحتراق مع وجود مصدر اشتعال، يتولد عن ذلك غازات ذات درجة حرارة مرتفعة ، ومن ثم يتم دخول الغازات إلى التوربين الغازي لغرض توليد شغل ميكانيكي ومن ثم تحويل هذا الشغل إلى طاقة كهربائية عن طريق المولد التزامني ، وعند نهاية الدورة الغازية تخرج كمية من غازات العادم تصل درجة حرارتها إلى (504°C) بمعدل تدفق (2000 Kg/S) وهذه الكمية كبيرة جدا وغير مستفادة منها بمثل هذه المحطات ، حيث تم استغلال الحرارة الكامنة لغازات العادم عند النقطة (5) بعملية الإصلاح البخاري . وتكون تكنولوجيا الإصلاح البخاري بعملية ضخ الوقود (8) والماء (7) إلى مبادل حراري (HEX₁) لغرض رفع درجة حرارة الوقود والماء من الحالة السائلة إلى الحالة البخارية عند النقطة (10)، بعد عملية التبادل الحراري فيما بين غازات العادم يتم دخول بخار الماء ووقود الديزل إلى جهاز الإصلاح البخاري (REFORMER) لغرض التفاعل الكيميائي وإنتاج الهيدروجين (H₂) وثاني أكسيد الكربون (CO₂) عند النقطة (11) حيث كانت درجة حرارة منتجات التفاعل (139°C) بمعدل تدفق (85 Kg/S) ، وهذه الدرجة تعتبر منخفضة جدا مما دعى لاستخدامها كوسittel تبريد عند المبادل الحراري (HEX₂) لحل مشكلة درجة حرارة الهواء عند مداخل الضواغط بالوحدات الخمسة ، وعند نهاية التبادل الحراري يخرج وسيط التبريد (H₂+CO₂) عند النقطة (12) بدرجة حرارة °C 3.54

وكذلك تم إنتاج الهيدروجين عند النقطة (12) بمعدل تدفق (8) Kg/S لغرض التصدير للدول المستهلكة، وكذلك تم الحد من الانبعاثات الكربونية الناتجة لثاني أكسيد الكربون حيث بلغ (62) Kg/S وتعتبر هذه القيمة عالية جدا مما دعى إلى تخزينها والتخلص منها بطرق فنية لغرض المحافظة على البيئة والحد من التأثير البيئي.

3. النموذج الرياضي للمنظومة

فيما يلي يتضمن لنا عرض النموذج الرياضي للمحطة المقترنة ويشمل نموذج التوربين الغازي وجهاز الإصلاح البخاري والمتبادلات الحرارية:

$$W_{c,s} = m_a \times c_{pa} \times (T_2 - T_1) \quad (1)$$

$$W_{c,a} = m_a \times c_{pa} \times (T_{2a} - T_1) \quad (2)$$

$$\eta_c = \frac{W_{c,s}}{W_{c,a}} \quad (3)$$

$$r_p = \frac{p_2}{p_1} \quad (4)$$



$$\frac{T2}{T1} = \left(\frac{P2}{P1}\right)^{Z1} \quad (5)$$

$$Z_1 = \frac{Ka-1}{Ka} \quad (6)$$

$$m_g = m_a + m_f \quad (7)$$

$$W_{gt, s} = m_g \times c_{pg} \times (T_3 - T_4) \quad (8)$$

$$W_{gt, a} = m_g \times c_{pg} \times (T_3 - T_{4a}) \quad (9)$$

$$\eta_{gt} = \frac{W_{gt,a}}{W_{gt,s}} \quad (10)$$

$$Z_2 = \frac{Kg-1}{Kg} \quad (11)$$

$$\frac{T3}{T4} = \left(\frac{P3}{P4}\right)^{Z2} \quad (12)$$

$$Q_{in, s} = (m_g \times c_{pg} \times T_3) - (m_a \times c_{pa} \times T_2) \quad (13)$$

$$Q_{in, a} = (m_g \times c_{pg} \times T_3) - (m_a \times c_{pa} \times T_{2a}) \quad (14)$$

$$W_{net,s} = (W_{gt, s}) - (W_{c,s}) \quad (15)$$

$$W_{net,a} = (W_{gt, a}) - (W_{c,a}) \quad (16)$$

$$\eta_{th, gt, s} = \frac{W_{net,s}}{Q_{in, s}} \quad (17)$$

$$\eta_{th, gt, a} = \frac{W_{net,a}}{Q_{in, a}} \quad (18)$$

$$WP, H2O = \dot{m} w^* (h7 - h6) \quad (19)$$

$$WP, c12h26 = \dot{m} c12h26 * (h8 - h9) \quad (20)$$

$$WP, FUEL = \dot{m} fuel * (h fuel out - h fuel in) \quad (21)$$

$$W_{pump\ total} = (WP, H2O) + (WP, C12H26) + (WP, fuel) \quad (22)$$

$$\eta_{th\ total} = \frac{[(WP, H2O) + (WP, C12H26) + (WP, fuel)]}{Q_{IN}} \quad (23)$$





1.3 تقنيات انتاج الهيدروجين (Technologies to Produce Hydrogen)

(a) الإصلاح الخارجي (External Reforming) :



(b) الإصلاح الداخلي (Internal Reforming) :

يقصد بعملية الإصلاح الداخلي انتاج الهيدروجين داخل منظومة تكون درجة حرارة تشغيلها المرتفعة تسمح بالتفاعل.



(c) تفاعل الإصلاح بالبخار:

يعتبر هذا التفاعل ماص للحرارة ويُعبر عليه بمصطلح (Steam Reforming Reaction).



(d) تفاعل تحول الماء:

يعتبر هذا التفاعل طارد للحرارة ويُعبر عليه بمصطلح (Water Shift Reaction).



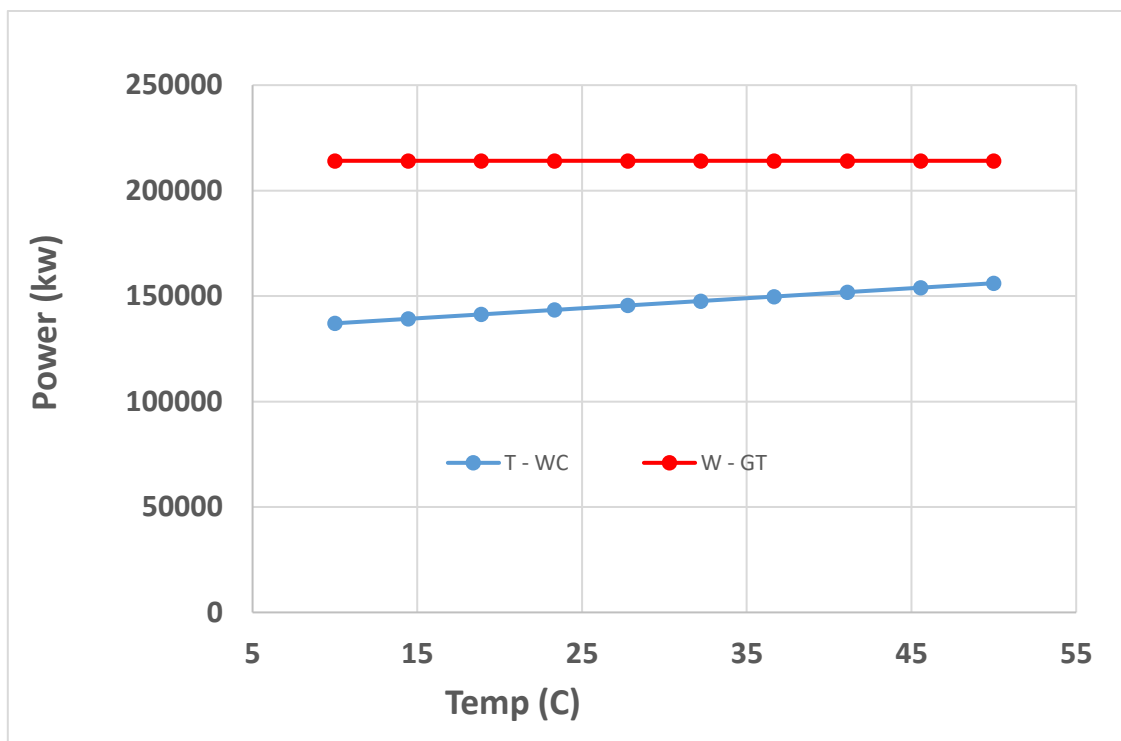
4. المدخلات التشغيلية للمحطة المقترحة:

الجدول 1: الرموز والاختصارات والقيم للمحطة قيد الدراسة

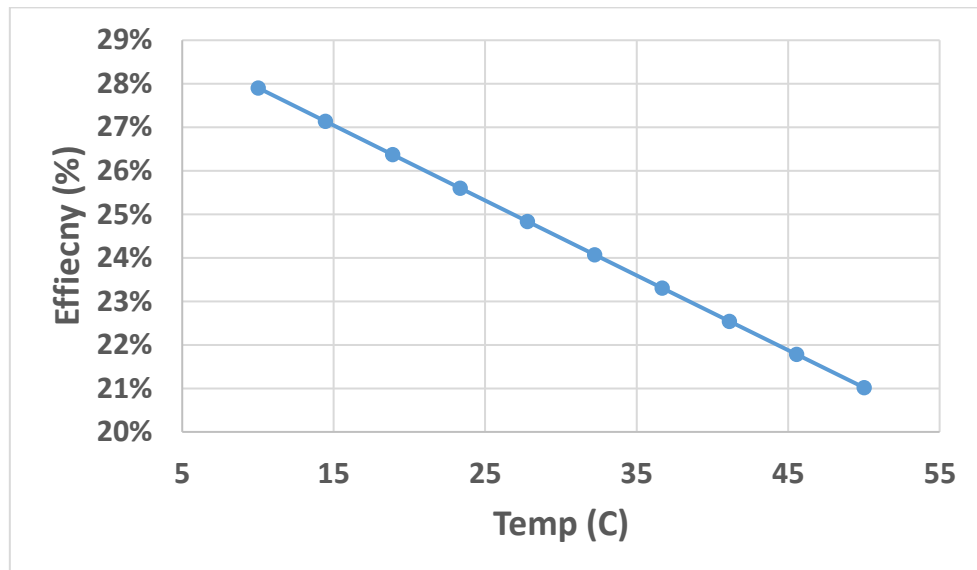
الوحدة	القيمة	تسمية المتغير	الرمز	No.
°C	10	درجة حرارة الهواء عند مدخل الضاغط	T1	1
°C	950	أقصى درجة حرارة للغازات عند مدخل التوربين الغازي	T3	2
°C	25	درجة حرارة الماء عند دخول المضخة	T6	3
°C	25	درجة حرارة الماء عند تصريف المضخة	T7	4
°C	25	درجة حرارة الوقود الديزل عند مدخل المضخة	T9	5
°C	25	درجة حرارة الوقود عند تصريف المضخة	T8	6
°C	405	درجة حرارة بخار الماء ووقود الديزل عند مخرج المبادل الحراري (1HEX)	T10	7
°C	-139	درجة حرارة 2H2 + CO المنتج من الإصلاح البخاري	T11	8
°C	3.52	درجة حرارة 2H2 + CO النهائية بعد التبادل الحراري لتبريد 5 وحدات غازية	T12	9
bar	1	ضغط الهواء عند مدخل الضاغط	P1	10
bar	11	ضغط الهواء عند تصريف الضاغط	P2	11
bar	10.99	أقصى ضغط عند التوربين الغازي	P3	12
bar	1	ضغط الماء عند مدخل المضخة	P6	13
bar	1	ضغط الوقود عند مدخل المضخة	P9	14
bar	2	ضغط الماء عند تصريف المضخة	P7	15
bar	2	ضغط الوقود عند تصريف المضخة	P8	16
bar	1.99	ضغط بخار الماء + الوقود عند مخرج المبادل الحراري 1HEX	P10	17
bar	1.99	ضغط 2H2 + CO عند مخرج جهاز الإصلاح البخاري	P11	18
bar	1.99	ضغط العادم لي 2H2 + CO عند مخرج المبادل الحراري 2HEX	P12	19
bar	11	نسبة الانضغاط	rp	20
Kg/s	6.4	معدل تدفق الوقود عند غرفة الاحتراق	M.FUEL-CC	21
Kg/s	65	معدل تدفق كتلة الماء عند جهاز الإصلاح البخاري	M.WATER	22
Kg/s	20	معدل تدفق كتلة الوقود عند جهاز الإصلاح البخاري	M.FUEL-REG	23
%	82.00%	كفاءة الإيزنتروبيا للضاغط	η_COM	24
%	82.00%	كفاءة الإيزنتروبيا للتوربين الغازي	η_GT	25

5. تحليل وعرض النتائج

يبين الشكل رقم (1) تأثير درجة حرارة الهواء بالبيئة الخارجية على القدرة للتوربين الغازي والقدرة المستهلكة للضاغط، حيث يتضح أن كلما ارتفعت درجة حرارة الهواء بالبيئة الخارجية زادت القدرة المستهلكة من قبل الضاغط وهذا ناتج عن زيادة الحجم النوعي للهواء مما يتطلب طاقة أكبر لإجراء عملية الانضغاط عند درجات الحرارة المرتفعة، بينما يلاحظ كلما انخفضت درجة حرارة الهواء للبيئة الخارجية انخفضت القدرة المستهلكة للضاغط، مع ثبوت قدرة التوربين الغازي. وهذا يعني أن صافي الطاقة المنتجة من المنظومة تتاسب طردياً مع انخفاض درجة الحرارة مما ينتج عنه تحسن في كفاءة المنظومة كما هو موضح بالشكل (3) وبالرغم من انخفاض كتلة الوقود المستهلكة في منظومة التوربين الغازي نتيجة ارتفاع درجة حرارة البيئة الخارجية كما مبين في الشكل (4) إلا أن معدل الانخفاض في الصافي الطاقة المنتجة أكبر من معدل التحسن في الطاقة المستهلكة في غرفة الاحتراق وهذا السبب الذي جعل الكفاءة تهبط مع ارتفاع درجة البيئة.

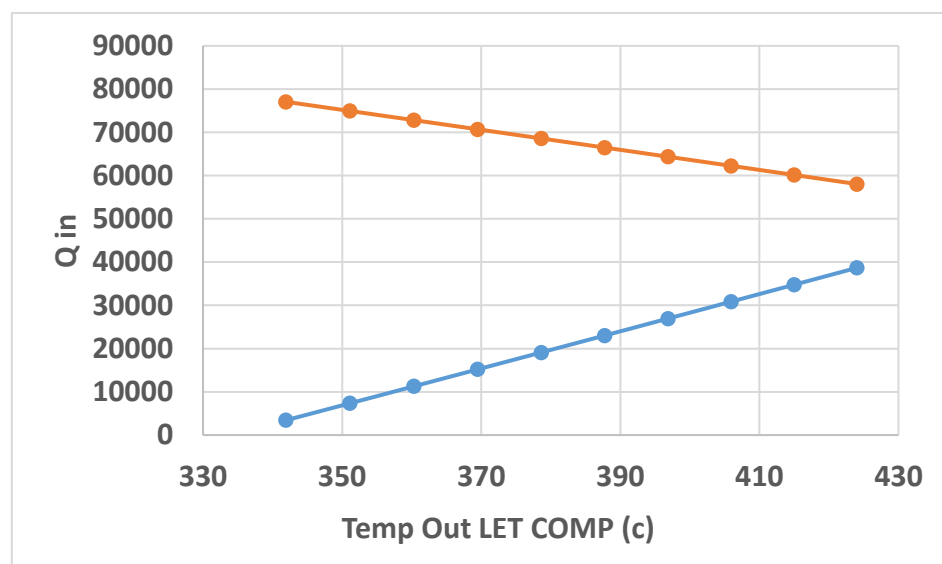


شكل رقم 2 : تأثير درجة حرارة البيئة الخارجية على القدرة لضاغط والتوربين الغازي



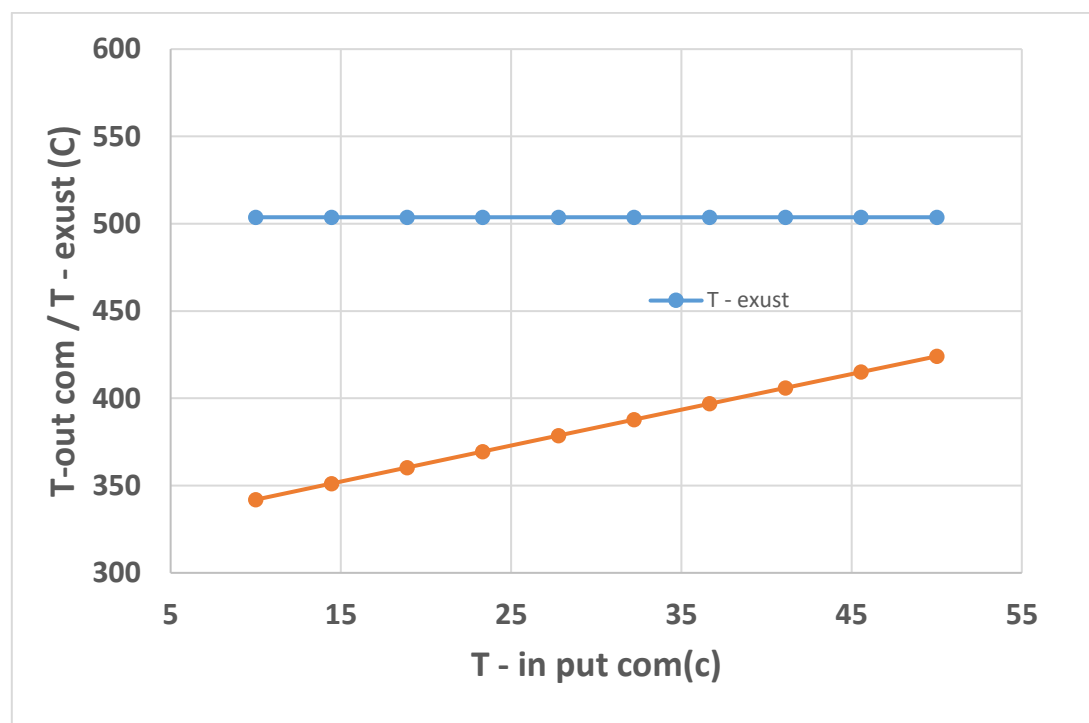
شكل 3: تأثير درجة حرارة المحيط الخارجي على الكفاءة الحرارية للمحطة الغازية بجنوب طرابلس.

يوضح الشكل (3) تأثير درجة حرارة المحيط الخارجي على الكفاءة الحرارية للمحطة الغازية حيث يتبين أنه كلما ارتفعت درجة حرارة الهواء بالبيئة الخارجية يؤثر بشكل سلبي على الكفاءة الحرارية للمحطة الغازية مما ينتج عن ذلك انخفاض كبير للكفاءة الحرارية بينما يتضح أيضاً كلما انخفضت درجة حرارة الهواء بالبيئة الخارجية تحسن الكفاءة الحرارية للمحطة الغازية قيد الدراسة وهذا ناتج عن انخفاض الطاقة المستهلكة عند الضاغط لإجراء عملية الانضغاط.



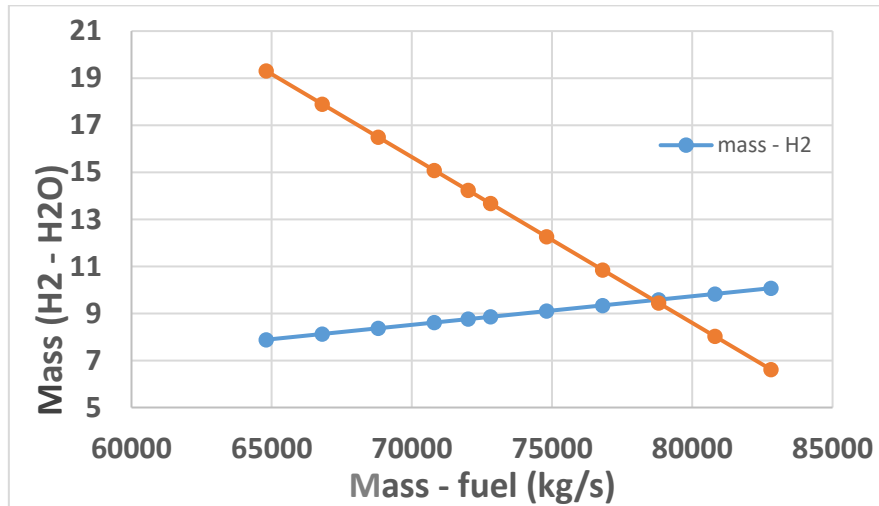
شكل رقم 4: تحليل درجة حرارة الهواء عند مخرج الضاغط على كمية الحرارة المضافة وصافي التشغيل المنتج.

يبين الشكل (4) تحليل درجة حرارة الهواء عند نهاية شوط الانضغاط على كمية الحرارة المضافة داخل غرفة الاحتراق وصافي الشغل المنتج بالمحطة الغازية حيث يتضح انه كلما ارتفعت درجة حرارة الهواء عند مخرج الضاغط قلت كمية الحرارة المستهلكة او المضافة داخل غرفة الاحتراق وينتتج عن ذلك انخفاض في كمية الوقود المستهلك او المضاف داخل غرفة الاحتراق مما ينعكس بشكل إيجابي علي صافي القدرة المنتجة بالمحطة ولكن هذا التحسن يعتبر بسيط في حالة ما تم مقارنته عند انخفاض درجة حرارة الهواء عند مدخل الضاغط المبينة في الشكل(3) و الشكل (2)



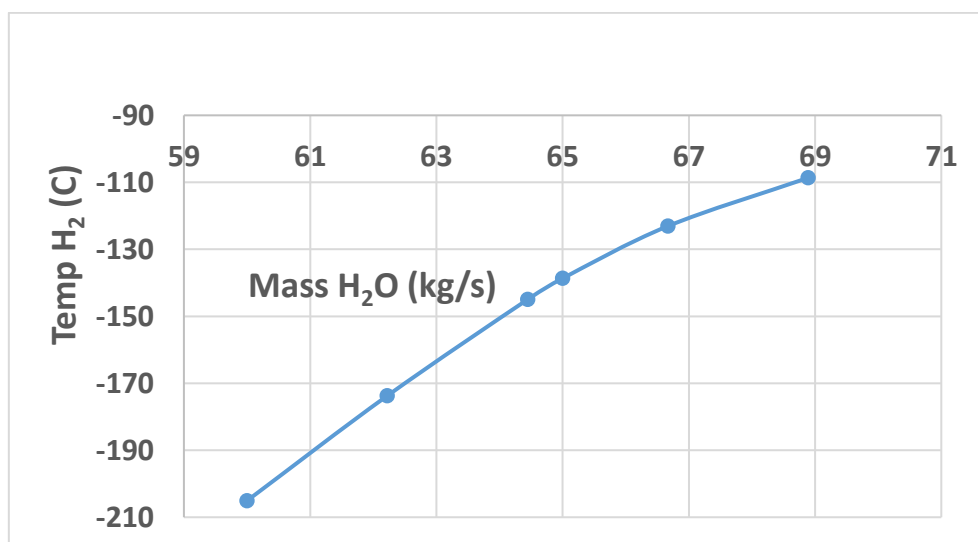
شكل 5 : تأثير درجة حرارة الهواء بالمحيط الخارجي على درجة حرارة الهواء عند مخرج الضاغط وغازات العادم عند مخرج التوربين الغازي

يوضح الشكل (5) تأثير درجة حرارة الهواء بالمحيط الخارجي على درجة حرارة الهواء عند مخرج الضاغط بعد عملية الانضغاط وغازات العادم عند مخرج التوربين الغازي، حيث يتبيّن انه كلما ارتفعت درجة حرارة الهواء بالمحيط الخارجي تتناسب طردياً مع عملية الانضغاط لضاغط الهواء مما ينتج عنها زيادة بدرجة حرارة الهواء عند تصريف الضاغط، ويلاحظ أيضاً ثبوت درجة حرارة غازات العادم عند مخرج التوربين الغازي (504°C) وتعتبر درجة حرارة العادم مرتفعة جداً وغير مستقادة منها في مثل هذه المحطات الغازية.



شكل 6: دراسة العلاقة بين معدل تدفق كتلة الوقود ومعدل الهيدروجين المنتج في عملية الإصلاح بالبخار.

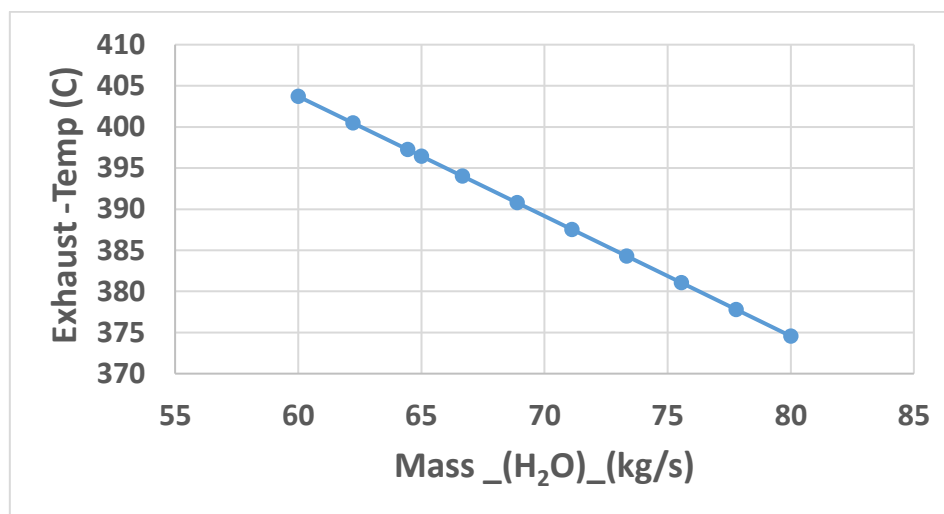
يبين الشكل (6) يتبع الإنحدار في المنحنى الذي يمثل معدل تدفق الماء يكون أكبر بكثير منه في منحنى معدل الهيدروجين المنتج ويتقاطعان في نقطة والتي تمثل أفضل نقطة تشغيل لمنظومة الإصلاح لإنتاج الهيدروجين.



شكل 7: تحليل المعدل الزمني لتدفق كتلة الوقود (C₁₂H₂₆) بعملية الإصلاح بالبخار على درجة حرارة الهيدروجين المنتج.

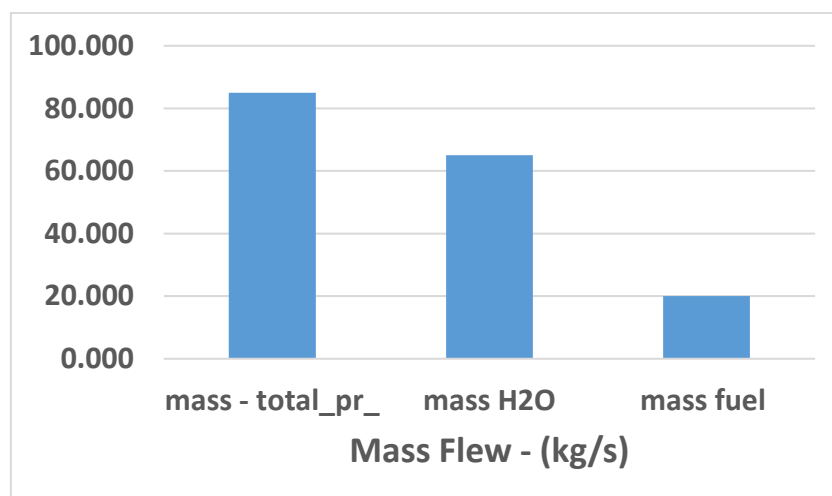
يبين الشكل (7) تأثير المعدل الزمني لتدفق كتلة الوقود (C₁₂H₂₆) بعملية الإصلاح بالبخار على درجة حرارة الهيدروجين المنتج للتفاعل الكيميائي، حيث يتضح أن كلما زاد معدل سيران الوقود مع الكمية الكافية من بخار الماء ارتفعت درجة حرارة

الهيدروجين المنتج باتجاه الصفر المئوي، بينما كلما انخفض معدل سريان الوقود انخفضت درجة حرارة الهيدروجين انخفاض كبير تحت الصفر المئوي، وهذا مؤشر جيد لاستخدام الهيدروجين المنتج بعملية تبريد الهواء عند مدخل الضاغط بالمحطة الغازية للوحدات الخمسة، والذي تم الإشارة إليه بالشكل (2) والشكل (3).



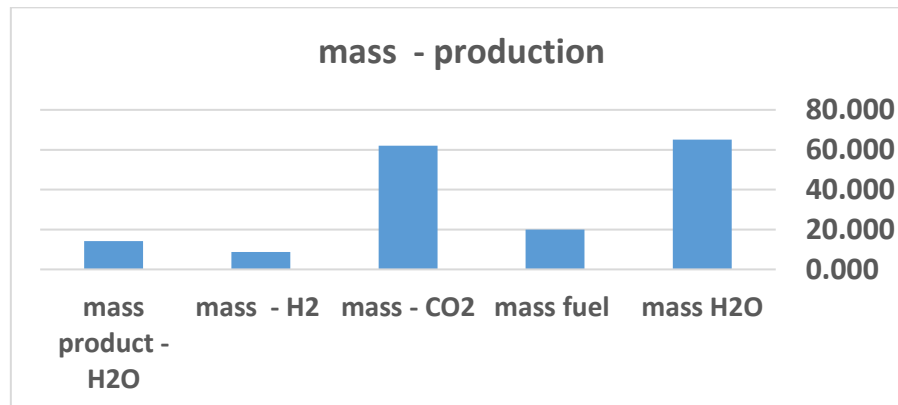
شكل 8: تأثير كمية الماء، المتدفقة في عملية الإصلاح بالبخار على درجة حرارة العادم النهائي للتوربين الغازي.

يبين الشكل (8) تأثير كمية الماء المتدفقة على درجة حرارة العادم أي أنه كلما زادت كمية الماء كلما قلت درجة حرارة العادم ، حيث نلاحظ من المنحنى عندما تكون كمية الماء المتدفق (60 kg/s) تصل درجة الحرارة إلى ما يقرب من (403°C). وأيضاً عندما تصل كمية الماء المتدفق إلى (80 kg/s) تصل درجة الحرارة إلى حوالي (374°C).



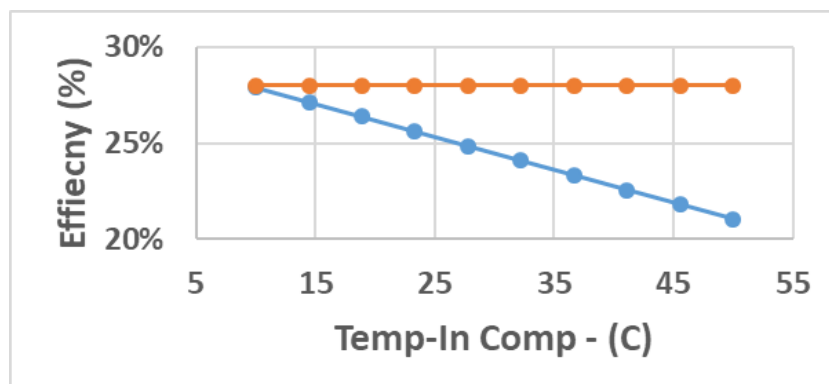
شكل 9: المدرج التكراري لكميات الوقود والماء المستخدمة بالتفاعل الكيميائي وكمية الهيدروجين المنتج من التفاعل.

يبين الشكل (9) المدرج التكراري لكميات الوقود والماء المستخدم بعملية الإصلاح بالبخار، حيث كان المعدل الزمني لتدفق كتلة الماء (60 Kg/S)، والمعدل الزمني لتدفق كتلة الوقود (20 Kg/S)، لغرض التفاعل الكيميائي وإنتاج الهيدروجين مع مركبات أخرى للتفاعل وقد بلغ (80 Kg/S).



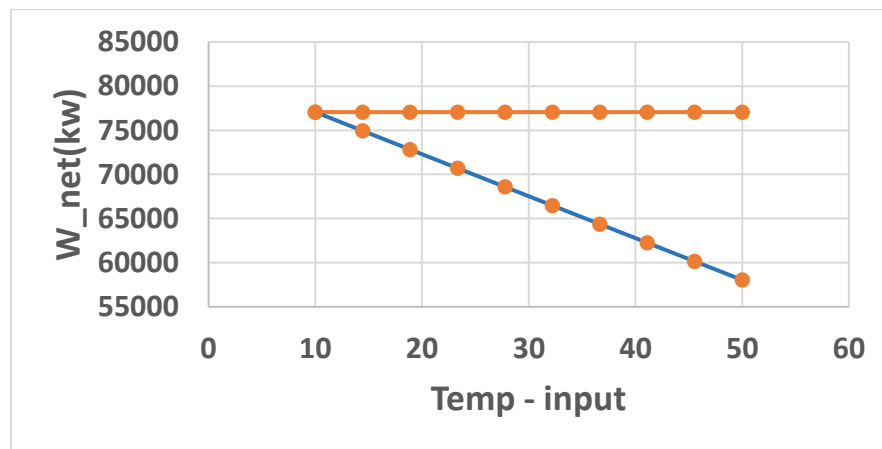
شكل 10: المدرج التكراري للمركبات الكيميائية المتفاعلة والمنتجة من التفاعل الكيميائي لعملية الإصلاح بالبخار.

يوضح الشكل (10) المدرج التكراري للمركبات الكيميائية الدالة والمنتجة من التفاعل الكيميائي لعملية الإصلاح البخاري، حيث يتضح أن كمية بخار الماء الدالة بالتفاعل (60 Kg/S)، المستخدمة لتفاعل مع الوقود (20 Kg/S) لإنتاج Kg/S الهيدروجين بمعدل زمني (8) Kg/S وثاني أكسيد الكربون (62) Kg/S بالإضافة إلى مركب الماء الزائد وقد بلغ (10) Kg/S لإجمالي ناتج التفاعل (80 Kg/S)، ونلاحظ أيضاً كمية ثاني أكسيد الكربون (CO₂) عالية جداً بنتائج التفاعل ولكن يمكن التخلص منه فيما بعد بطرق فنية للمحافظة على البيئة.



شكل 11: تأثير درجة حرارة المحيط الخارجي على الكفاءة الحرارية لمحطة جنوب طرابلس قبل وبعد عملية التبريد بالهيدروجين (H₂).

يبين الشكل (11) تأثير درجة حرارة المحيط الخارجي على الكفاءة الحرارية لمحطة جنوب طرابلس قبل وبعد عملية التبريد بالهيدروجين، حيث يتضح لنا كلما ارتفعت درجة حرارة الهواء بالبيئة الخارجية انخفضت الكفاءة الحرارية لمحطة الغازية مما ينعكس بشكل سلبي على القدرة المنتجة لمحطة، وبفضل درجة حرارة الهيدروجين المنخفضة والمنتجة من الإصلاح البخاري (139°C) تم حل مشكلة درجة حرارة الهواء عند مدخل الضاغط بالوحدات الخمسة وذلك عن طريق التبادل الحراري فيما بين الهواء الداخل للوحدات الخمسة والهيدروجين المنخفض حراريا على مدار السنة عند درجة حرارة (10 °C) كما هو موضح بالشكل السابق حيث تم تثبيت تشغيل المحطة بكفاءة تشغيلية عند (28%) وهذا تحسن ملحوظ لأداء محطة جنوب طرابلس مقارنة بظروف التشغيل التي كانت تعمل عندها المحطة بفصل الصيف وبباقي الفصول التي تتذبذب فيها درجات الحرارة للمحيط الخارجي ، حيث تم المحافظة على استقرار المحطة عند درجة حرارة وكفاءة حرارية كما هو مذكور سابقا .



شكل 12: تأثير درجة حرارة المحيط الخارجي على صافي القدرة المنتجة لمحطة جنوب طرابلس قبل وبعد عملية التبريد بالهيدروجين (H_2).

يوضح الشكل (12) تأثير درجة حرارة المحيط الخارجي على صافي القدرة المنتجة لمحطة جنوب طرابلس قبل وبعد عملية التبريد بالهيدروجين، حيث يتضح لنا كلما ارتفعت درجة حرارة الهواء بالبيئة الخارجية انخفض صافي القدرة المنتجة لمحطة الغازية مما ينعكس بشكل سلبي على أداء المحطة، وبفضل عملية التبريد بالهيدروجين تم حل مشكلة درجة حرارة الهواء عند مدخل الضواغط بالوحدات الخمسة عند درجة حرارة (10°C) مما يحافظ على القدرة الإنتاجية لمحطة الغازية بالوحدات الخمسة كما هو موضح بالشكل السابق .

6. الخاتمة

في هذه الورقة تم تصميم نموذج لمنظومة محطة جنوب طرابلس الغازية والتي أضيف إليها منظومة الإصلاح الخارجي ليشكلا منظومة واحدة. ومن خلال عمليات المحاكاة ودراسة تأثير درجة حرارة المحيط على أداء المحطة أوضحت النتائج إمكانية استقرار أداء المحطة بكفاءة قدرها (28%) وبقدرة إنتاجية لكل وحدة غازية وهي (77.06 MW) من خلال استغلال درجة حرارة الهيدروجين المنخفضة (139°C) في عملية التحكم وتبريد الهواء الداخل إلى كل الوحدات بدرجة حرارة وقدرها (10°C) وفي حالة انخفاض درجة حرارة المحيط إلى أقل من هذه الدرجة يتم انتاج الهيدروجين فقط والذي لا يتطلب الاستمرار بعملية التبريد. ولكون أن عمليات انتاج الهيدروجين بأنواعه المختلفة يعتبر حاليا من الاهتمامات العالمية وباعتبار أن ليبيا تمتاز بموقع جغرافي والذي يؤهلها لتكون مصدر لصناعة الهيدروجين وتصديره إلى مناطق الاستهلاك وخلال النتائج يتضح أن بالإمكان انتاج الهيدروجين بقدار (691.2 ton/day) بالإضافة إلى ذلك إمكانية إجراء معالجات وقائية لتخزين كمية من ثاني أكسيد الكربون (CO₂) وقدرها (5356.8 ton/day) وهذا يعني إجراءات المقترنة للمحافظة على البيئة. من خلال تفحص المنظومة المتكاملة المقترنة يتبين أن منظومة التوربين الغازي لا يحدث أي تغير في التصميم الجوهري للمنظومة ويكفي زيادة جهاز الإصلاح الخارجي في مخرج العادم بالإضافة إلى وضع مبادلات حرارية في مداخل الهواء المتدفع إلى الضواغط بالوحدات الخمسة بمفهوم آخر ينصح الجهات ذات العلاقة في تبني هذه الفكرة وإجراء المزيد من الدراسات لتكون إحدى الحلول المقترنة في استقرار الشبكة الكهربائية في ليبيا وتطويرها.

قائمة المراجع:

- [1] أثر المناخ على استهلاك الطاقة الكهربائية السكنية، صملي. خديجة. فايدة. ، 2024
- [2] التباين في درجة الحرارة وأثره في انتاج و استهلاك الطاقة الكهربائية ببلدية الزاوية الغربية ، الشارف ، عبدالمجيد ، 2024 م .
- [3] محاكاة لمقترح تطوير المحطة الغازية بجنوب طرابلس وتحسين أدائها في حالة الدورة المزدوجة ، د. بن موسى ، عبداللطيف. ، م . غبيض ، نضال. ، م . عابدين ، إسماعيل. ، 2023م.
- [4] محاكاة نموذج منظومة التوربين الغازي وخلية الوقود ذات الغشاء البروتوني . ، د . بن موسى ، عبداللطيف. ، م . القلال ، قدرى. ، 2025
- [5] رفع كفاءة نموذج منظومة التوربين الغازي بدمجه مع خلية الوقود ذات الغشاء البروتوني. ، د . بن موسى ، عبداللطيف. ، م . القلال ، قدرى. ، 2025 . م
- [6] Najjar, Y. S. H. (1990). Hydrogen fueled and cooled gas turbine engine. International journal of hydrogen energy, 15(11), 827-832.
- [7] Alnasur, F. S., & Al-Furaiji, M. A. (2021, August). Estimation the performance of gas turbine power station with air cooling fog system. In Journal of Physics: Conference Series (Vol. 1973, No. 1, p. 012040). IOP Publishing.